

913.- Dolomías triásicas. Complejo
Maláguide: T_ad



914.- Sierra de Cártama vista desde el Sur (Unidad de Blanca). En primer término, depósitos de piedemonte pliocuaternarios con cemento calizo ($T_{21}^{B3} - Q_1^K$).



915.- Peridotita ($\sigma_o \times^6$) con diques
leucocraticos (γR^6). Macizo
de Carratraca



916.- Afloramiento de esquistos al
pujárrides. En primer término margas de la Unidad de Al
jibe.



917.- Detalle de las costras calizas en los depósitos pliocuaternarios. ($T_{21}^{B3}-Q_1K$).



918.- Panorámica del flysch, con -
el monte Hacho y Alora al --
fondo. El monte Hacho son mo
lasas miocénas.



919.- Detalle de la molasa del Ha-
cho de Alora. (T₁₋₁^{Bb-Bc}).



920.- Panorámica de la Hoya de Málaga vista desde Pizarra hacia el SO. Llanura de flysch de Aljibe. Monte central de Maláguide. A la derecha, - la Unidad de las Nieves. A la izquierda, la Unidad de Blanca.



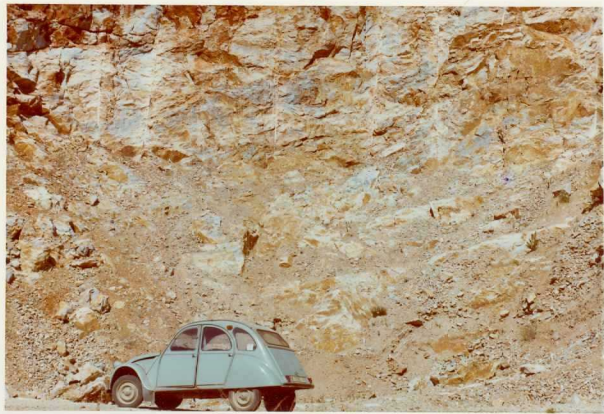
921.- Depósitos áridos pliocuaternarios. ($T_{21}^{B3}-Q_1$).



922.- Sierra de Cártama (Unidad de Blanca) vista desde el Sur.
En primer término depósitos rojos de piedemonte.



923.- Contacto entre las arcillas azules tabianenses ($T_2^B m$) y las arenas amarillentas astienses ($T_2^B 5$) al fondo, dolomías triásicas del Maláguide.



924.- Sierra de Cártama (Unidad de Blanca).

Mármoles dolomíticos en bancos. ($T_n - \Delta$).



925.- Detalle de los mármoles dolomíticos blancos de la Unidad de Blanca. ($T_A - \Delta$).



926.- Sierra de Cártama vista desde
de el Sur. Corredor de Alhaurín.